

О ПРЕДЕЛЬНОМ ТОКЕ МАГНИТОИЗОЛИРОВАННОГО ДИОДА

В.Ю. Шафер

Из принципа стационарного действия, аналогичного принципу Монертона – Лагранжа в механике, получено уравнение для профиля потенциала электронного пучка в плоском магнитоизолированном диоде (МИД) в случае бесконечного ведущего магнитного поля. Показано, что ток МИД равен предельному току дрейфового пространства для пучка данной конфигурации и энергии.

Исследуемая модель МИД изображена на рис. 1. С точки зрения физики она адекватна используемым в экспериментах цилиндрическим коаксиальным диодам, но описывается более простыми формулами. Анод $1,1'$ – плоскости $y_A = \pm a$ (параллельные xOz – плоскости симметрии системы); катод $2,2'$ – полуплоскости $y_K = \pm b$, $x \leq 0$. Анод и катод обладают идеальной проводимостью и находятся при постоянных потенциалах: $\Phi_A = 0$, $\Phi_K = -U_0$ ($U_0 > 0$). Эмиссионную способность катода считаем неограниченной. Вдоль оси x приложено внешнее однородное магнитное поле $B_{0x} = \infty$, препятствующее движению электронов в направлениях y и z . Штриховые линии 3 и $3'$ ($y_n = y_K = \pm b$, $x \geq 0$) изображают две идентичные ветви бесконечно тонкого ленточного пучка. Пучок считаем моноэнергетическим – с полной энергией электронов в единицах mc^2 : $\gamma_0 = 1 + eU_0/mc^2$; $e > 0$, заряд m – масса электрона; c – скорость света. Рассматриваем только стационарные состояния, однородные в направлении оси z . Пучок описываем следующими переменными: $N(x)$ – поверхностная плотность числа электронов, $V(x)$ – гидродинамическая скорость.

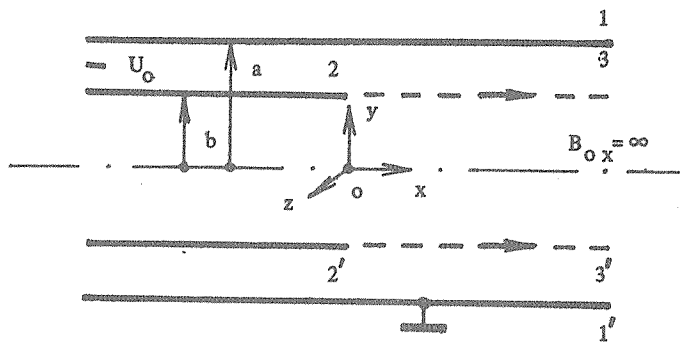


Рис. 1. Схема МИД: $1,1'$ – анод, $2,2'$ – катод, $3,3'$ – пучок.

Током пучка называем величину $J = eN(x)V(x)$ – ток одной из ветвей (например, ветви 3 на рис. 1), приходящийся на единицу длины в направлении z . При однородной вдоль x конфигурации анода и пучка и в предположении бесконечной эмиссионной способности катода естественно ожидать, что ток МИД совпадает с предельным током пучка в дрейфовом пространстве (ДП) ($x > 2a$), который в данном случае равен

$$J_{\text{пр}} = (mc^3/e)(\gamma_0^{2/3} - 1)^{3/2}/4\pi(a - b). \quad (1)$$

(Формула (1) лишь геометрическим фактором $4\pi(a - b)$ вместо $2 \ln(R_a/R_b)$ отличается от известной [1] формулы для $J_{\text{пр}}$ однородного бесконечно тонкого трубчатого пучка радиуса R_b в коаксиальном волноводе радиуса R_a .) В подтверждение этого предположения сошлемся на экспериментальную работу

/2/, в которой измеренные токи коаксиального МИД с точностью 20% совпадали с предельными токами ДП, рассчитанными в /3/ для пучков реализуемых конфигураций – в условиях конечного ведущего магнитного поля.

В теоретических работах /4–6/, посвященных прямому вычислению тока коаксиального МИД (цилиндрического аналога плоской модели), утверждается, что максимальный ток диода определяется "не пропускной способностью транспортирующей системы, а зоной ускорения в диоде" – областью вблизи катода $0 < x < 2a$. Выражение для максимального тока в этой теории имеет вид (в плоской геометрии):

$$J_{\text{пр}}^* = (mc^3/e) (\gamma_{\infty}^* - 1) [(\gamma_{\infty}^*)^2 - 1]^{1/2} / 8\pi(a-b), \quad \gamma_{\infty}^* = (2\gamma_0 + 1/4)^{1/2} - 1/2, \quad (2)$$

где γ_{∞}^* – релятивистский фактор пучка в области дрейфа ($x \rightarrow \infty$). Формула (2) отличается от соответствующего выражения в /4–6/ для цилиндрического диода тем же геометрическим фактором, о котором говорилось выше. В пучке с током (1) $\gamma_{\infty} = \gamma_0^{1/3}$.

Выход формулы (2) основан на утверждении, что в стационарном режиме работы диода потоки вдоль оси x – заряда, энергии и продольной компоненты "суммарного импульса частиц и электростатического поля /6/" – однородны, т.е. не зависят от x . Поэтому можно (игнорируя зону ускорения) приравнять значения потоков соответствующих величин в областях $x = -\infty$ и $x = +\infty$, где они вычисляются тривиально. Из полученной таким образом системы уравнений и решения уравнения Пуассона при $x = \pm \infty$ следует (2).

Электрический ток и поток энергии в стационарном режиме однородны. Но однородность продольной компоненты полного потока импульса (xx – компоненты тензора напряжений) не является необходимым следствием стационарности, как не является и выражением закона сохранения полного импульса в диоде. Отличная от нуля разность значений потока импульса на выходе и на входе диода свидетельствует о действии на катод силы отдачи (при $J > J_{\text{пр}}^*$) или силы тяги (в направлении Ох при $J < J_{\text{пр}}^*$) и равна этой силе.

В данной работе ток МИД выводится из принципа стационарного действия. Определим потенциал пучка $\Phi_{\Pi}(x) \equiv \Phi(x \geq 0, y = \pm b) = \Phi_{\Pi}[N(x)]$ и поверхностную плотность заряда на катоде $N_k(x \leq 0) = N_k[N(x)]$ как функции профиля плотности пучка $N(x \geq 0)$. Для этого решим краевую задачу:

$$\begin{aligned} \Phi_{xx} + \Phi_{yy} = 0, \quad |\Phi(x, y)| < \infty, \quad -\infty < x < +\infty, \quad 0 \leq y \leq a; \quad \Phi(x, y=a) = 0, \quad \Phi_y(x, y=0) = 0, \quad -\infty < x < +\infty; \\ \Phi(x \leq 0, y=b) = -U_0; \quad \Phi_y(x, y=b+0) - \Phi_y(x, y=b-0) = 4\pi e N(x), \quad x \geq 0. \end{aligned} \quad (3)$$

Задача решалась методом Винера – Хопфа. Выражение для $\Phi_{\Pi}(x)$ имеет вид:

$$\begin{aligned} \Phi_{\Pi}(x) = & - (2U_0/\pi) \sum_{m=0}^{\infty} \exp[(m+1/2)(G-\pi x)/a] (a_m)_m \cos \beta_m / m! (2m+1) - \\ & - 8e \sum_{n=0}^{\infty} [\cos^2 \beta_n / (2n+1)] \int_0^{\infty} N(\xi) \exp[-\pi(n+1/2)|x-\xi|/a] d\xi + \\ & + 4e(1-b/a) \sum_{m,n=0}^{\infty} N(n) \exp[(G(m+n+1) - \pi x(m+1/2))/a] (a_m)_m (a_n)_n \times \\ & \times \cos \beta_m \cos \beta_n / m! n! (m+n+1). \end{aligned} \quad (4)$$

Здесь $(a)_k = a(a+1) \dots (a+k-1)$, $(a)_0 = 1$ – символ Пochаммера; $G = a \ln a - b \ln b - (a-b) \ln(a-b)$; $a_k = 1/2 - (k+1/2)b/a$; $\beta_k = \pi(k+1/2)b/a$; $N(n) = \int_0^{\infty} N(x) \exp[-\pi(n+1/2)x/a] dx$.

Формула для $N_k(x)$ более громоздкая, поэтому здесь не приводится.

В механике поведение (конфигурация) систем с постоянной энергией определяется принципом стационарного действия в форме Монпертона – Лагранжа /7/: $\delta S = 0$, $S = \sum \int p_i dr_i = S(\sum p_i v_i) dt$, где p_i, v_i – импульс и скорость i -й частицы, суммирование проводится по всем частицам системы, а интегралы берутся вдоль траекторий частиц. В силу стационарности исследуемых состояний действие в нашем случае пропорционально времени t , поэтому далее будем варьировать величину $S_t = dS/dt$, которая от времени уже не зависит. Для перехода к сплошной среде величину $p_i v_i$ (имеющую смысл потока импульса частицы вдоль ее траектории) заменим на след тензора напряжений среды $\sigma_{aa}(r)$ (по $a = x, y, z$ суммирование), а сумму по частицам заменим интегрированием по всему объему диода (фактически – по половине объема, приходящегося на единицу длины в z -направлении: $-\infty < x < +\infty, 0 \leq y \leq a$). Тензор напряжений в диоде есть сумма двух слагаемых, отвечающих вкладу поля и пучка; полевая часть равна: $\sigma_{aa}^f = (E^2 + B^2)/8\pi$ (след максвелловского тензора напряжений), а вклад пучка $\sigma_{aa}^b = \rho(x)\gamma(x)V^2(x)$, где $\rho(x) = mN(x)\delta(y - b)$ – массовая плотность пучка, $\gamma(x) = [1 - V^2(x)/c^2]^{-1/2}$ – его релятивистский фактор.

Задача определения профиля и тока пучка сводится к решению вариационной задачи:

$$\delta S_t = 0, S_t = \int_0^\infty mN(x)\gamma(x)V^2(x)dx + \frac{1}{2} \int_{-\infty}^0 eU_0 N_k(x)dx - \frac{1}{2} \int_0^\infty eN(x)\Phi_\Pi(x)dx; \quad (5)$$

$$\gamma(x) = \gamma_0 + e\Phi_\Pi(x)/mc^2, \quad \Phi_\Pi(x) = \Phi_\Pi[N(x)], \quad N_k(x) = N_k[N(x)]. \quad (6)$$

Первое из соотношений (6) – закон сохранения энергии для электронов пучка – является следствием однородности тока и потока энергии; связи (6) позволяют выразить вариации всех величин через вариацию $\delta N(x)$, которая считается произвольной.

Решением вариационной задачи является уравнение:

$$\begin{aligned} \gamma_0 + \gamma(x) - 2/\gamma(x) - 2(J/J_{\text{пр}})[(\gamma_0^{2/3} - 1)^{3/2}/\pi(a-b)] \sum_{n=0}^{\infty} [\cos^2 \beta_n/(2n+1)] \times \\ \times \int_0^{\infty} A(\xi) \exp[-\pi(n+1/2)|x-\xi|/a] d\xi + (J/J_{\text{пр}})[(\gamma_0^{2/3} - 1)^{3/2}/\pi a] \sum_{m,n=0}^{\infty} A(m) \times \\ \times \exp[(G(m+n+1) - \pi x(n+1/2))/a] (a_m)_m (a_n)_n \cos \beta_m \cos \beta_n / m! n! (m+n+1) + \\ + (\gamma_0 - 1) \sum_{n=0}^{\infty} (1/\pi n!) \exp[(n+1/2)(G - \pi x)/a] (a_n)_n \cos \beta_n \left\{ b \sum_{m=0}^{\infty} [(-1)^m/m!(m+1/2)] \times \right. \\ \times \exp[-(m+1/2)G/b] (1/2 - (m+1/2)a/b)_{m+1} / [a(m+1/2) - b(n+1/2)] - (a-b) \times \\ \times \left. \sum_{m=1}^{\infty} [(-1)^m/m!] \exp[-mG/(a-b)] (1/2 - ma/(a-b))_m / [am - (a-b)(n+1/2)] \right\} = 0. \end{aligned}$$

Здесь $A(x) = [\gamma(x) + 2/\gamma(x)] / (\gamma^2(x) - 1)^{1/2}$, $A(m) = \int_0^\infty A(x) \exp[-\pi(m+1/2)x/a] dx$. В пределе $x \rightarrow \infty$ уравнение (7) становится алгебраическим относительно $\gamma_\infty = \gamma(x \rightarrow \infty)$ (при этом J надо тоже выразить через γ_∞ с помощью соотношений $J = eN_\infty V_\infty$, $N_\infty = -\Phi_\Pi(x \rightarrow \infty)/4\pi e(a-b)$). Из него находим: $\gamma_\infty = \gamma_0^{1/3}$ и, следовательно, $J = J_{\text{пр}}$. Заменяя в (7) отношение $J/J_{\text{пр}}$ единицей, получим уравнение для $\gamma(x)$ (или для $\Phi_\Pi(x)$) с граничными условиями: $\gamma(0) = 1$, $\gamma(\infty) = \gamma_0^{1/3}$. Это уравнение можно решать на ЭВМ.

Ток диода получился равным предельному току (1), который, с одной стороны, является максимально возможным (больший ток через ДП не пройдет), а с другой – этот же ток оказался предпочтительным с точки зрения принципа стационарного действия; импеданс диода $Z = U_0/J$ при этом минимален.

Возникает вопрос: можно ли расширенно истолковать полученный результат – в виде "принципа минимального импеданса": в рамках теоретической модели или в условиях конкретного эксперимента диод

"выбирает" режим разряда с минимальным импедансом? Ответ на него не очевиден, если принять в расчет диссипации и неустойчивости пучка, роль которых в сопротивлении току разряда неоднозначна.

Автор благодарен Л.М. Коврижных и А.А. Рухадзе, по инициативе которых сделана эта работа.

ЛИТЕРАТУРА

1. Богданович Л.С., Рухадзе А.А. УФН, 103, 609 (1971).
2. Коломенский А.А., Крастелев Е.Г., Яблоков Б.Н. Письма в ЖТФ, 2, 271 (1976).
3. Воронин В.С., Лебедев А.Н. ЖТФ, 43, 2591 (1973).
4. Федосов А.И. и др. Изв. ВУЗов. Физика, №10, 134 (1977).
5. Belomytsev S.Ya. et al. Proc. 3rd Int. Conf. on High Power Electron and Ion Beams. Novosibirsk, 1979, v. II, p. 533.
6. Беломытцев С.Я. и др. Физика плазмы, 7, 86 (1981).
7. Гантмахер Ф.Р. Лекции по аналитической механике. М., Физматгиз, 1960.

Институт общей физики АН СССР

Поступила в редакцию 27 февраля 1989 г.